

УДК 53.09, 615.8

## ЧЕЛОВЕК КАК ФРАКТАЛ ВСЕЛЕННОЙ

Маргарита Андреевна Кулакова, кандидат технических наук, доцент кафедры устойчивого инновационного развития Международного университета природы, общества и человека «Дубна», член-корреспондент РАЕН, член Научной школы устойчивого развития

### Аннотация

*В статье на языке физико-математических зависимостей показано единство Вселенной, базирующееся на взгляде на пространство и время с позиций LT-системы, положенной в основу формирования науки устойчивого развития как процесса постижения законов-мер реального мира и их правильного применения в различных сферах жизнедеятельности с целью развития Жизни как космопланетарного явления.*

**КЛЮЧЕВЫЕ СЛОВА:** человек как космический объект, единство Вселенной, волновые процессы, гармонизация.

## HUMAN AS FRACTAL OF THE UNIVERSE

Margarita Andreevna Kulakova, Candidate of Technical Sciences, assistant professor of sustainable innovative development department of the International University of Nature, Society and Man «Dubna», associate member of RANS, a member of the Scientific School of Sustainable Development

### Abstract

*The article shows the unity of the universe using the language of physical and mathematical relationships, based on the view of space and time from the standpoint of LT-system that provides the foundation for science of sustainable development as a process of understanding the laws and measures of the real world and their proper use in different spheres of life for Life development as cosmoplanetary phenomena.*

**KEYWORDS:** human as a space object, the unity of the universe, wave processes, harmonization.

Человечество существует на планете Земля, которая находится в составе Солнечной системы — космической среды, включающей в себя центральную звезду — Солнце — и все естественные космические объекты, обращающиеся вокруг Солнца.

Известные из астрономии временные показатели вращения планет Солнечной системы вокруг собственной оси и при обращении планет вокруг Солнца дает полное право рассчитать Универсальную временную величину каждой планеты Солнечной системы и, естественно, все остальные физико-математические показатели. [1]

**УНИВЕРСАЛЬНАЯ ВРЕМЕННАЯ ВЕЛИЧИНА, как МЕРА ВРЕМЕНИ, — это ЧАСТОТА, измеряемая в ГЕРЦАХ, рассчитывается по определению: Один Герц — частота периодического процесса, при которой за время 1 с происходит один цикл процесса, измеряемый в секундах.**

Рассчитана частота каждой планеты Солнечной системы и остальные физико-математические показатели, существующие в современной науке.

Эти расчеты были систематизированы по звуковой гармонике: до, ре, ми, фа, соль, ля, си и по закону октав. В результате получили матрицу значений физических волновых

характеристик, начиная от планет Солнечной системы до гамма-частиц, т.е. в пределах значимых, физически осязаемых величин. Составлен Справочник [1] в котором представлены все указанные расчеты.

Если проанализировать одну таблицу Справочника — «Длина волны в метрах», — то убедимся в утверждении Николы Кузанского: «Движение во Вселенной универсально, вся она буквально пронизана переходами из одного состояния в другое». [2]

В столбце таблицы 1 «Физическое проявление вибраций» наглядно показано явление плавного перехода из одного физического состояния в другое, специально выделено цветами.

Таблица 1. Длина волны в метрах из раздела Справочника «Физические величины».

нота октава	до	ре	ми	фа	соль	ля	си	Физическое проявление вибраций	
-40-30	3,08E+17	2,78E+17	2,52E+17	2,29E+17	2,07E+17	1,87E+17	1,70E+17	Планеты при обращении вокруг Солнца	Планеты при вращении вокруг собственной оси
-33	9,61E+15	8,70E+15	7,88E+15	7,14E+15	6,46E+15	5,85E+15	5,30E+15		
-24	1,88E+13	1,70E+13	1,54E+13	1,39E+13	1,26E+13	1,14E+13	1,04E+13		
-22	4,69E+12	4,25E+12	3,85E+12	3,49E+12	3,16E+12	2,86E+12	2,59E+12	Биоритм синтеза белков, электронная активность нейронов, физиологическая и мыслительная активность	
-21	2,35E+12	2,12E+12	1,92E+12	1,74E+12	1,58E+12	1,43E+12	1,29E+12		
-20	1,17E+12	1,06E+12	9,62E+11	8,72E+11	7,89E+11	7,14E+11	6,47E+11		
-19	5,87E+11	5,31E+11	4,81E+11	4,36E+11	3,95E+11	3,57E+11	3,24E+11		
-12	4,58E+09	4,15E+09	3,76E+09	3,40E+09	3,08E+09	2,79E+09	2,53E+09	Ритмы мозга	Магнитное поле Земли
-9	5,73E+08	5,19E+08	4,70E+08	4,26E+08	3,85E+08	3,49E+08	3,16E+08		
-8	2,86E+08	2,59E+08	2,35E+08	2,13E+08	1,93E+08	1,74E+08	1,58E+08		
-7	1,43E+08	1,30E+08	1,18E+08	1,06E+08	9,63E+07	8,72E+07	7,90E+07		
-6	7,16E+07	6,48E+07	5,87E+07	5,32E+07	4,82E+07	4,36E+07	3,95E+07		
-5	3,58E+07	3,24E+07	2,94E+07	2,66E+07	2,41E+07	2,18E+07	1,98E+07		
-4	1,79E+07	1,62E+07	1,47E+07	1,33E+07	1,20E+07	1,09E+07	9,87E+06		
-3	8,95E+06	8,10E+06	7,34E+06	6,65E+06	6,02E+06	5,45E+06	4,94E+06	Слышимый звук	Человеческий голос
-2	4,48E+06	4,05E+06	3,67E+06	3,33E+06	3,01E+06	2,73E+06	2,47E+06		
-1	2,24E+06	2,03E+06	1,84E+06	1,66E+06	1,51E+06	1,36E+06	1,23E+06		
1	1,12E+06	1,01E+06	9,18E+05	8,31E+05	7,53E+05	6,81E+05	6,17E+05	Сверхдлинные ЭМ-волны	
2 - 6	5,59E+05	5,06E+05	4,59E+05	4,16E+05	3,76E+05	3,41E+05	3,09E+05		
7 - 10	2,19E+03	1,98E+03	1,79E+03	1,62E+03	1,47E+03	1,33E+03	1,21E+03	Длинные радиоволны (РВ)	
11 - 13	1,09E+03	9,89E+02	8,96E+02	8,12E+02	7,35E+02	6,65E+02	6,03E+02	Средние РВ	
14 - 23	1,37E+02	1,24E+02	1,12E+02	1,02E+02	9,19E+01	8,32E+01	7,53E+01	Короткие РВ	
24 - 27	1,33E-01	1,21E-01	1,09E-01	9,91E-02	8,97E-02	8,12E-02	7,36E-02	Телевидение (СВЧ)	
28 - 30	8,33E-03	7,55E-03	6,84E-03	6,19E-03	5,61E-03	5,08E-03	4,60E-03	Радиолокация (СВЧ) и инфракрасное излучение, выделенное синим цветом	
31	1,04E-03	9,43E-04	8,55E-04	7,74E-04	7,01E-04	6,35E-04	5,75E-04		
32	5,21E-04	4,72E-04	4,27E-04	3,87E-04	3,50E-04	3,17E-04	2,87E-04		

33	2,61E-04	2,36E-04	2,14E-04	1,94E-04	1,75E-04	1,59E-04	1,44E-04		
34	1,30E-04	1,18E-04	1,07E-04	9,68E-05	8,76E-05	7,93E-05	7,18E-05		
41	1,02E-06	9,21E-07	8,35E-07	7,56E-07	6,84E-07	6,20E-07	5,61E-07	Видимый свет	Химические элементы
42	5,09E-07	4,61E-07	4,17E-07	3,78E-07	3,42E-07	3,10E-07	2,81E-07		
43	2,54E-07	2,30E-07	2,09E-07	1,89E-07	1,71E-07	1,55E-07	1,40E-07	Ультрафиолет	
44	1,27E-07	1,15E-07	1,04E-07	9,45E-08	8,56E-08	7,75E-08	7,02E-08	Постоянная Ридберга $R=3,28E+15$ Гц, соответствующая длина волны 9,45E-08 м	
45	6,36E-08	5,76E-08	5,22E-08	4,72E-08	4,28E-08	3,87E-08	3,51E-08	Харти энергия 4,35E-18 Дж, соответствующая длина волны 4,72E-08 м	
46	3,18E-08	2,88E-08	2,61E-08	2,36E-08	2,14E-08	1,94E-08	1,75E-08	Ультрафиолетовое излучение	
47	1,59E-08	1,44E-08	1,30E-08	1,18E-08	1,07E-08	9,68E-09	8,77E-09	Бора радиус 5,28E-9 м	
48	7,95E-09	7,20E-09	6,52E-09	5,91E-09	5,35E-09	4,84E-09	4,39E-09	Рентгеновское излучение	
49	3,97E-09	3,60E-09	3,26E-09	2,95E-09	2,67E-09	2,42E-09	2,19E-09		
56	3,11E-11	2,81E-11	2,55E-11	2,31E-11	2,09E-11	1,89E-11	1,71E-11		
57	1,55E-11	1,41E-11	1,27E-11	1,15E-11	1,04E-11	9,46E-12	8,56E-12	Гамма-излучение	
59	3,88E-12	3,51E-12	3,18E-12	2,88E-12	2,61E-12	2,36E-12	2,14E-12	Масса электрона = 9,1E-31 кг, соответствующая длина волны 2,36E-12	
66	3,03E-14	2,75E-14	2,49E-14	2,25E-14	2,04E-14	1,85E-14	1,67E-14	Гамма-излучение	
70	1,90E-15	1,72E-15	1,56E-15	1,41E-15	1,28E-15	1,15E-15	1,05E-15	Масса протона, нейрона $\approx 1,674E-27$ кг, соответствующая длина волны 1,28E-15 м	
71 - 74	9,48E-16	8,58E-16	7,77E-16	7,04E-16	6,37E-16	5,77E-16	5,23E-16	Изотопы химических элементов	
129	3,29E-33	2,98E-33	2,70E-33	2,44E-33	2,21E-33	2,00E-33	1,81E-33	Фридмон $\sim 1,00E-09$ кг, соответствующая длина волны 2,00E-33 м	
130	1,64E-33	1,49E-33	1,35E-33	1,22E-33	1,11E-33	1,00E-33	9,07E-34	Космические лучи	
131	8,22E-34	7,44E-34	6,74E-34	6,11E-34	5,53E-34	5,01E-34	4,53E-34		
132	4,11E-34	3,72E-34	3,37E-34	3,05E-34	2,76E-34	2,50E-34	2,27E-34		
133	2,06E-34	1,86E-34	1,69E-34	1,53E-34	1,38E-34	1,25E-34	1,13E-34		
134	1,03E-34	9,30E-35	8,43E-35	7,63E-35	6,91E-35	6,26E-35	5,67E-35	Планковская масса = 2,17E-08 кг, соответствующая ей длина волны 1,03E-34 м	
135	5,14E-35	4,65E-35	4,21E-35	3,82E-35	3,46E-35	3,13E-35	2,83E-35		
136	2,57E-35	2,33E-35	2,11E-35	1,91E-35	1,73E-35	1,56E-35	1,42E-35	Планковская длина = 1,616E-35 м	
137	1,28E-35	1,16E-35	1,05E-35	9,54E-36	8,64E-36	7,82E-36	7,08E-36	Частица предельной массы $\sim 1E-08$ кг, соответствующая ей длина волны 1,05E+35 м	
138	6,42E-36	5,81E-36	5,27E-36	4,77E-36	4,32E-36	3,91E-36	3,54E-36		
139	1,28E-37	1,16E-37	1,05E-37	9,54E-36	8,64E-36	7,80E-36	7,08E-36		

**Примечание;** Выделенные числовые значения на поле таблицы зеленым цветом, начиная с 44 октавы, это расчетные значения длин волн, соответствующие параметрам справочных данных. **Пример 1.** Планковская длина = 1,616E-35 м. В таблице показан диапазон этой величины: 1,73E-35 м, 1,56E-35 м.

Дальнейшее исследование гармоник Солнечной системы по правилу золотого сечения и квинте показало на существование двух встречных потоков, прослеживающихся во всех расчетных диапазонах длин волн. В табличном выражении это выглядит так:

**Таблица 2. Золотое сечение и квинта в диапазоне октав планет Солнечной системы.**

**а) золотое сечение, длина волны в метрах**

Октава/нога	до	ре	ми	фа	соль	ля	си
-30	1,20E+15	1,09E+15	9,85E+14	8,92E+14	8,08E+14 8,519E+14	7,32E+14	6,63E+14
-29	6,01E+14	5,44E+14	4,93E+14 5,265E+14	4,46E+14	4,04E+14	3,66E+14	3,31E+14 3,254E+14
-28	3,00E+14 3,25E+14	2,72E+14	2,46E+14	2,23E+14	2,02E+14 2,011E+14	1,83E+14	1,66E+14
-27	1,50E+14	1,36E+14	1,243E+14 1,242E+14	1,12E+14	1,01E+14	9,15E+13	8,28E+13
-26	7,51E+13 7,679E+13	6,80E+13	6,16E+13	5,58E+13	5,05E+13	4,57E+13 4,746E+13	4,14E+13

**б) квинта, длина волны в метрах**

Октава/нога	до	ре	ми	фа	соль	ля	си
-29	6,006E+14	5,437E+14 5,78E+14	4,927E+14	4,462E+14	4,040E+14 3,85E+14	3,658E+14	3,313E+14
-28	3,003E+14	2,719E+14	2,463E+14 2,57E+14	2,231E+14	2,020E+14	1,829E+14	1,657E+14 1,71E+14
-27	1,501E+14	1,359E+14	1,232E+14	1,116E+14 1,14E+14	1,010E+14	9,145E+13	8,283E+13
-26	7,507E+13 7,61E+13	6,797E+13	6,158E+13	5,578E+13	5,050E+13 5,07E+13	4,572E+13	4,141E+13
-25	3,753E+13	3,398E+13 3,38E+13	3,079E+13	2,789E+13	2,525E+13	2,286E+13 2,25E+13	2,071E+13
-24	1,877E+13	1,699E+13	1,540E+13 1,50E+13	1,394E+13	1,262E+13	1,143E+13	1,035E+13 1,0E+13

Если представить, что таблица отображает числовые значения, составляющие конус, то очевидно, что в Золотом сечении конус вращается в направлении справа налево (против часовой стрелки); в Квинте слева направо (по часовой стрелке), то есть два конуса вращаются навстречу друг другу. Стоячая волна образуется в координате -26 ДО, где происходит встреча волны «золотого сечения» и квинты, обозначенные одинаковыми длинами волн, равные 7.61E+13 м.

Примечание: вращающиеся планеты создают полевую космическую среду, которая формируется по законам интерференции.

Объемное графическое построение наиболее наглядно показывает эти взаимосвязи.

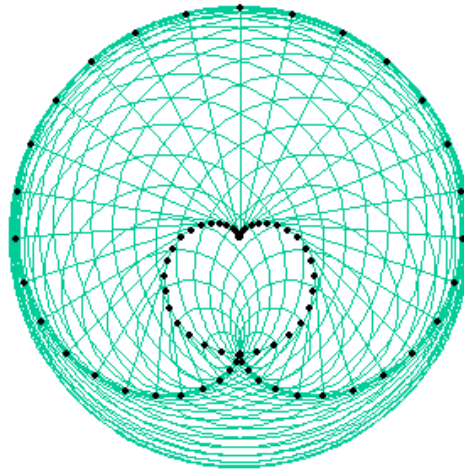


Рис. 1. Кардиоиды, на которой видны встречные потоки.

В точках пересечения в результате наложения двух бегущих навстречу друг другу волн, имеющих одинаковые частоту и амплитуду, образуются стоячие волны.

Если мы возьмем соотношения в области октав, соответствующих химическим элементам, то увидим картину, подобную планетарной.

Таблица 3. Золотое сечение и квинта в диапазоне октав, соответствующих химическим элементам.

а) золотое сечение, длина волны в метрах

Нота/октава	до	ре	ми	фа	соль	ля	си
38	8,14E-06	7,37E-06 7,333E-06	6,68E-06	6,05E-06	5,48E-06	4,96E-06	4,49E-06 4,532E-06
39	4,07E-06	3,69E-06	3,34E-06	3,02E-06	2,74E-06 2,801E-06	2,48E-06	2,25E-06
40	2,04E-06	1,84E-06	1,67E-06	1,51E-06	1,37E-06	1,24E-06	1,12E-06
41	1,02E-06 1,07E-06	9,21E-07	8,35E-07	7,56E-07	6,84E-07 6,61E-07	6,20E-07	5,61E-07
42	5,09E-07	4,61E-07	4,17E-07 4,085E-07		3,42E-07	3,10E-07	2,81E-07

б) квинта, длина волны в метрах

Нота/октава	до	ре	ми	фа	соль	ля	си
38	8,139E-06	7,369E-06 7,333E-06	6,677E-06	6,047E-06	5,475E-06	4,957E-06 4,87E-06	4,490E-06
39	4,070E-06	3,685E-06	3,338E-06 3,25E-06	3,024E-06	2,738E-06	2,479E-06	2,245E-06 2,16E-06
40	2,035E-06	1,842E-06	1,669E-06	1,512E-06 1,44E-06	1,369E-06	1,239E-06	1,123E-06
41	1,017E-06	9,211E-07 9,62E-07	8,346E-07	7,559E-07	6,844E-07	6,197E-07 6,41E-07	5,613E-07
42	5,087E-07	4,606E-07	4,173E-07 4,27E-07	3,780E-07	3,422E-07	3,098E-07	2,806E-07 2,85E-07

На уровне химических элементов наблюдаются встречные потоки, создающие стоячие волны [8]. Например, золотое сечение и квинта создают стоячую волну в диапазоне координаты 38 РЕ. Цифры в этой точке имеют одинаковые величины.

Показано, что космическое пространство Солнечной системы формируется по октаве и встречными потоками по закону золотого сечения и квинты.

Фигуры Лиссажу показывают на образование в межпланетном пространстве каналов, в которых происходит уплотнение субстанции, начиная с планетарных областей и

заканчиваясь гамма частицами.. Эти каналы представляют собой замкнутую спираль определенной формы. В данном теоретическом эксперименте наблюдаются спирали с явно выраженными одинаковыми формами. Две из них мы представляем Вашему вниманию [3]. Фигуры Лиссажу, определяющие принципиально одинаковые процессы, выглядят, как показано на рис. 2.

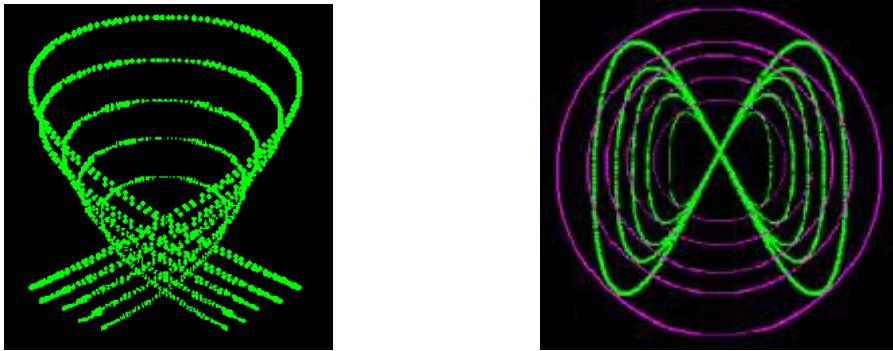


Рис 2. Фигуры Лиссажу спирального космического поля: квинта (слева), октава (справа).

Исследование взаимодействия планет между собой показало, что при вибрации планет соотношения длин волн в каждом длинноволновом диапазоне составляет следующие коэффициенты:

- $2,78E+17$  м (Сатурн вокруг Солнца) /  $1,7E+17$  м (Луна вокруг Солнца) составляют 1,64 Золотое сечение.
- $9,61E+15$  м (Земля вокруг Солнца) /  $5,85E+15$  м (Венера вокруг оси и вокруг Солнца) составляют 1,64 Золотое сечение.

Эта четверка планет Сатурн, Луна, Земля, Венера являются создателями живых систем в Солнечном пространстве, которые, как известно, формируются по золотому сечению [4, 5].

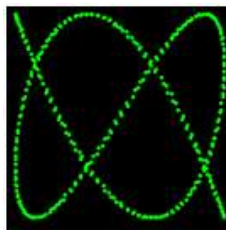


Рис 3. Фигура Лиссажу спирального поля Земля – Венера.

Результаты расчета интерференции волн других планет:

- Луна  $1,70E+17$  м /  $1,14E+17$  Юпитер = 1,49 (квинта).
- Нептун с Ураном образуют квинту:  $1,70E+13$  м /  $1,14E+13$  м = 1,49 (квинта).

-25		Земля – Космос <b>ПО ЗОЛОТОМУ сечению</b> Соотношение $2,53E+13м/1,54E+13м = 1,64$ (против часовой стрелки)	2,53E+13м Земля вокруг своей оси 1,19E-05Гц				
-24		1,54E+13м Космос	1,39E+13	1,26E+13	1,14E+13	1,04E+13 м Юпитер вокруг своей оси 2,90E-05Гц	<b>КВИНТА</b>
-23			6,9E+12м 4,3E-05Гц Процессы, происходящие в человеке.			Земля – Юпитер <b>ПО КВИНТЕ</b> Соотношение $1,04E+13м / 6,9E+12м = 1,5$ (по часовой стрелке)	

**Рис 4. Пример соотношения вибраций Земли и космоса, Земли и Юпитера.**

Соотношение планетарных вибраций формируют в человеческом организме определенные процессы, вибрации которых эквивалентны планетарным.

-25		Земля – Космос <b>ПО ЗОЛОТОМУ сечению</b> Соотношение $2,53E+13м/1,54E+13м = 1,64$ (против часовой стрелки)	2,53E+13м 1,19E-05Гц Ритмы супрагипоталамического ядра гипоталамуса Дельта ритм				
-24		1,54E+13м Космос	1,39E+13	1,26E+13	1,14E+13	1,04E+13 м Юпитер вокруг своей оси 2,90E-05Гц	
-23			6,9E+12м 4,3E-05Гц Циклы сокращения желудка, циклы мочеотделения и др			Земля – Юпитер <b>ПО КВИНТЕ</b> Соотношение $1,04E+13м / 6,9E+12м = 1,5$ (по часовой стрелке)	

**Рис 5. Планетарные вибрации формируют в человеке определенные процессы.**

Наблюдаемое изменение длины волны в области планетарных вибраций при обращении планет вокруг Солнца и вокруг оси показывает, что оно происходит по определенному порядку: снижается длина волны спирально при интерференции волн в определенных точках. Статистический анализ по всей матрице таблицы выявил закономерное уменьшение длины волны, а так же то обстоятельство, что величина соотношения взаимодействующих волн, например Космос – Юпитер, равна или близка к «золотому числу», а интерференция волн Земли с Юпитером равна квинте.

Полученные соотношения наблюдаются по всей матричной таблице, но формирование клетки от невидимой полевой структуры до ее материального проявления происходит только по золотому сечению [5].

Отметим, что согласно данным эмбриологии [6], во второй фазе оплодотворения — контактном взаимодействии — сперматозоиды вращают яйцеклетку. Многочисленные спермии приближаются к яйцеклетке и вступают в контакт с ее оболочкой. Яйцеклетка начинает совершать вращательные движения вокруг своей оси со скоростью 4 вращения в минуту. Эти движения обусловлены влиянием биения жгутиков сперматозоидов и продолжаются около 12 ч. Здесь укажем, что скорость вращения 4 оборота в минуту соответствует  $6,6E-02$  Гц, а также ноте До в -12 октаве и вибрациям магнитного поля Земли. Далее по закону Золотого сечения вибрации яйцеклетки входят в динамическую волновую матрицу Солнечной системы.

-13	9,16E+09	8,30E+09 8,205E+09	7,52E+09	6,81E+09	6,16E+09	5,58E+09	5,06E+09м 5,071E+09Г ц	Магнитное поле Земли
-12	4,58E+09м 6,54E-02 Гц Вибрации яйцеклетки после ее раскручивания сперматозоидами				3,134E+09м 9,73e-02Гц	2,79E+09	2,53E+09	
-11	2,29E+09	2,07E+09	1,937E+09м 1,60E-01Гц	1,70E+09	1,54E+09	1,40E+09	1,26E+09	

**Рис. 6. Включение клетки в магнитное поле Земли. Длины волн и частоты в Гц нематериальной, невидимой клетки выделены голубым цветом.**

Из биологии [7] известно, что среди биоритмов мозга во время сна обнаруживается ритм с периодом 15-20 секунд, способствующий оптимизации приспособительной деятельности организма, повышению секреции гормонов анаболического действия, клеточному обновлению и увеличению скорости митозов в разных тканях, синтезу белков и РНК, в т.ч. в мозге, ядрах гипоталамуса.

Ритм с периодом 15 секунд равнозначен частоте  $6,66E-02$  Гц (Герцами называются законченные временные процессы в одну секунду).  $1/15=0,066$  Гц ( $6,6E-02$ ). Это соответствует координатам ДО в -12 октаве. Таким образом, в организме человека улавливаются вибрации, совпадающие с космическими, точнее, начальными потоками магнитного поля Земли, подключающего клетку к вибрациям Солнечной Вселенной.

По параметрам волновых физических величин определили нахождение клетки в матричной таблице 1 [5].

Развиваясь в магнитном поле Земли по «золотому сечению», клетка принимает полевые вибрации дельта-ритмов мозга, которые связаны с полевыми ритмами других тканей и органов человека.

-7	1,43E+08	1,30E+08	1,18E+08	1,08E+08м 2,82E+0Гц Живая клетка	9,63E+07	8,72E+07	7,90E+07	Дельта ритм мозга
-6	7,16E+07	6,67E+07м 4,63E+00Гц Живая клетка	5,87E+07	5,32E+07	4,82E+07	4,12E+07м 6,88+00Гц Живая клетка	3,95E+07	Тета ритм мозга
-5	3,58E+07	3,24E+07	2,94E+07	2,55E+07м 1,13E+01Гц Живая клетка	2,41E+07	2,18E+07	1,98E+07	Альфа ритм мозга

Рис. 7. Клетка в полевых вибрациях ритмов мозга.

Как видно из рис. 7, соотношение вибраций клетки совпадает с планетарными вибрациями в октавах -23,-24,-25 Рис 1, рассмотренный крест повторяется, но соотношение длин волн  $1,08E+08м/6,67E+07м$  и  $4,12E+07/2,55E+07м$  равно 1,62, золоту сечению, и так на протяжении всего процесса формирования клетки.

После того, как клетка вступила в резонанс с полевыми ритмами мозга, развитие продолжается в слышимым для уха диапазоне звуковых волн, соответствующих сверхдлинным радиоволнам (рис. 8).

1	1,12E+06	1,01E+06	9,18E+05	фа 8,77E+05м 3,61E+02Гц Живая клетка	7,53E+05	6,81E+05	6,17E+05	Диапазон звуков, слышимый ухом
2	5,59E+05 5,42E+05	ре 5,06E+05м 5,92+02Гц Живая клетка	4,59E+05	4,16E+05	3,76E+05	3,35E+05м ЛЯ 8,80E+02Гц Живая клетка	3,09E+05	
3	2,80E+05	2,53E+05	2,29E+05	фа 2,07E+05м 1,44E+03Гц Живая клетка	1,88E+05	1,70E+05	1,54E+05	

Рис. 8. Процесс развития клетки в звуковом поле.

В звуковом поле, соответствующем в 1 и 2 октаве человеческому голосу, «полевою» клетку можно активировать звуками ФА 1 октавы, и Ре и ЛЯ 2 октавы. Из них создать аккорд, в котором произойдет интерференция волн и «родится» нота ФА в третьей октаве.

Многочисленные биологические данные о биоритмах подтверждают, что фиксируются полевые, а не вещественные составляющие клеточных систем. Вот примеры:

1. Сонные веретена с частотой 12 -16 Гц [7].

По справочнику [1] эта величина соответствует диапазону ритмов мозга (-5 октава, нота СОЛЬ, числовое значение вибраций  $1,25 E+01$  Гц, длина волны  $2,41E +07м$  ). По

величине длины волны абсолютно понятно, что измеряется частота полевой составляющей биосистемы.

2. Околочасовые ритмы [7]. Один час равен 3 600сек Расчет в герцах:  $1/3600 = 2,7 \text{ E-}04 \text{ Гц}$ . По справочнику эта величина соответствует диапазону синтеза белков ( -20 октава, нота РЕ, числовое значение вибраций  $2,87 \text{ E-}04 \text{ Гц}$ , длина волны  $1,06 \text{ E} +12 \text{ м}$  ). По величине длины волны ясно, что измеряется частота полевой составляющей биосистем.

3. Ритм гипоталамуса 1,5 часа [7].  $1,5 \text{ ч} = 5 400 \text{ сек}$ . Расчет в герцах:  $1/5400 = 1,8 \text{ E-}4 \text{ Гц}$ .

По Справочнику эта величина соответствует диапазону синтеза белков (-21 октава, нота СОЛЬ), числовое значение вибраций  $1,9 \text{ E-}4 \text{ Гц}$ , длина волны  $1,58 \text{ E} +12 \text{ м}$  . Величина длины волны наглядно показывает, что измеряется частота полевой составляющей биосистемы.

4. 24-х суточный ритм [7]. В 24-х сутках  $2 073 600 \text{ сек}$ . Расчет в герцах:  $1/2 073 600 = 4,82 \text{ E-}9 \text{ Гц}$ . По справочнику эта величина соответствует диапазону обращения планет вокруг Солнца (-36 октава, нота МИ, числовое значение вибраций  $4,75 \text{ E-}09$ , длина волны  $6,31 \text{ E} +16 \text{ м}$  ). Эти характеристики эквивалентны волновым характеристикам планет Юпитера, Сатурна и Луны при обращении вокруг Солнца.

Следуем дальше за развитием клетки по пути спирали «золотого сечения».

Наблюдаем процесс развития клетки в радиоволновом диапазоне, СВЧ, инфракрасном излучении.

19	4,27E+00	3,86E+00	3,50E+00	3,23E+00м Живая клетка	2,87E+00	2,60E+00	2,35E+00	Диапазон резонансных частот	Радиолокация (СВЧ)
20	2,13E+00	1,99E+00м Живая клетка	1,75E+00	1,59E+00	1,44E+00	1,23E+00м Живая клетка	1,18E+		
21	1,07E+00	9,66E-01	8,75E-01	7,61E-01м Живая клетка	7,18E-01	6,50E-01	5,89E-01		

Рис. 9 . Процесс развития клетки в волнах СВЧ.

Не видим, не слышим, а радиоволны с длиной волны  $3,23 \text{ E} +00 \text{ м}$ ,  $1,99 \text{ E} +00 \text{ м}$ ,  $1,23 \text{ E} +00 \text{ м}$ ,  $7,61 \text{ E} -01 \text{ м}$  пронизывают клетку, поддерживают ее радиоволновую форму. Крест сдвигается влево, входит в диапазон обращения Земли вокруг Солнца.

31	1,04E-03	9,43E-04	8,55E-04 9,02E-04 Живая клетка	7,74E-04	7,01E-04	6,35E-04	5,75E-04	Радиолокация (СВЧ)
32	5,21E-04 5,58E-04 Живая клетка	4,72E-04	4,27E-04	3,87E-04	3,50E-04 3,45E-04 Живая клетка	3,17E-04	2,87E-04	
33	2,61E-04	2,36E-04	2,14E-04 2,13E-04 Живая клетка	1,94E-04	1,75E-04	1,59E-04	1,44E-04	
34	1,30E-04 1,32E-04 Живая клетка	1,18E-04	1,07E-04	9,68E-05	8,76E-05 8,134E-05 Живая клетка	7,93E-05	7,18E-05	
35	6,51E-05	5,90E-05	5,34E-05 5,027E-05 живая клетка	4,84E-05	4,38E-05	3,97E-05	3,59E-05	

Рис. 10. Процесс развития клетки в СВЧ и инфракрасном излучении.

В диапазоне от 31 до 34 октавы клетка структурируется длинами волн СВЧ, а в 35 октаве переходит в область инфракрасного излучения, которое продолжается до 41 октавы. В 41 октаве переходит в область химических элементов, материализуется.

40	2,04E-06	1,84E-06м	1,73E+03нм живая клетка	1,51E-06м	1,37E-06	1,24E-06	1,12E-06	Инфракрасное излучение
41	1,07E+03нм живая клетка	9,21E-07м	8,35E-07м	7,56E-07м	6,61E+02нм живая клетка	6,20E-07м	5,61E-07	Химические элементы Видимый цвет.
42	5,09E-07м		4,085E+02нм живая клетка		3,42E-07м	3,10E-07	2,81E-07	

Рис. 11. Процесс развития клетки в инфракрасном излучении и в видимом цвете, соответствующем химическим элементам.

Какие же химические элементы входят в клетку?

Координата 40, МИ, длина волны 1,73E+03 нм. Близкие значения длин волн имеет водород с длиной волны 1875,10 нм. Ранее нами было показано, что этот водород входит в состав Рибозы ДНК [9]. Близкие значения длины волны имеет также фосфор с длиной волны 1648,3 нм.

Координата 41, ДО , длина волны 1,07E+03 нм. Близкие значения длин волн имеет азот с длиной волны 1247,96 нм.

Координата 41, СОЛЬ длина волны 6,61E+02 нм. Близкие значения длин волн имеет водород с длиной волны 656,27 нм, кислород с длиной волны 687 нм, калий с длиной волны 691,11нм.

Координата 42, МИ, длина волны 4,085E+02 нм. Близкие значения длин волн имеют водород 434,05 нм, углерод 426,73 нм, кальций 422,67 нм, железо 430,79 нм.

**Таким образом, материальную составляющую клетки составляют следующие химические элементы: водород с длиной волны 1875,10 нм, фосфор с длиной волны 1648,3 нм, азот с длиной волны 1247,96 нм, водород с длиной волны 656,27 нм, кислород с длиной волны 687 нм, калий с длиной волны 691,11нм. водород 434,05 нм, углерод 426,73 нм, кальций 422,67 нм, железо 430,79 нм.**

#### **Функции ДНК<sup>1</sup>**

Известно, что пары нуклеотидов ДНК отвечают принципу комплементарности, цитозин комплементарен гуанину, аденин — тимину и урацилу (последний отличается от тимина только отсутствием группы СН3. На рис.12 показаны варианты соединения аденина с тимином и гуанина с цитозином.

Принцип комплементарности позволяет объяснить механизм «молекулярного узнавания» [12]. С позиций волновой теории, ДНК представляет собой осциллирующий пакет, в котором элементы находятся в различных взаимоотношениях, зависящих от длины волны каждого элемента.

<sup>1</sup> В работе Б.Е. Большакова «Закон Природы» (М., РАЕН, 2002) [14, 16] показано, что ДНК (РНК) выражаются на едином и точном языке пространственно-временных величин и имеют размерность усилителя мощности с формулой  $[L^5T^{-5}]^{14}$ .

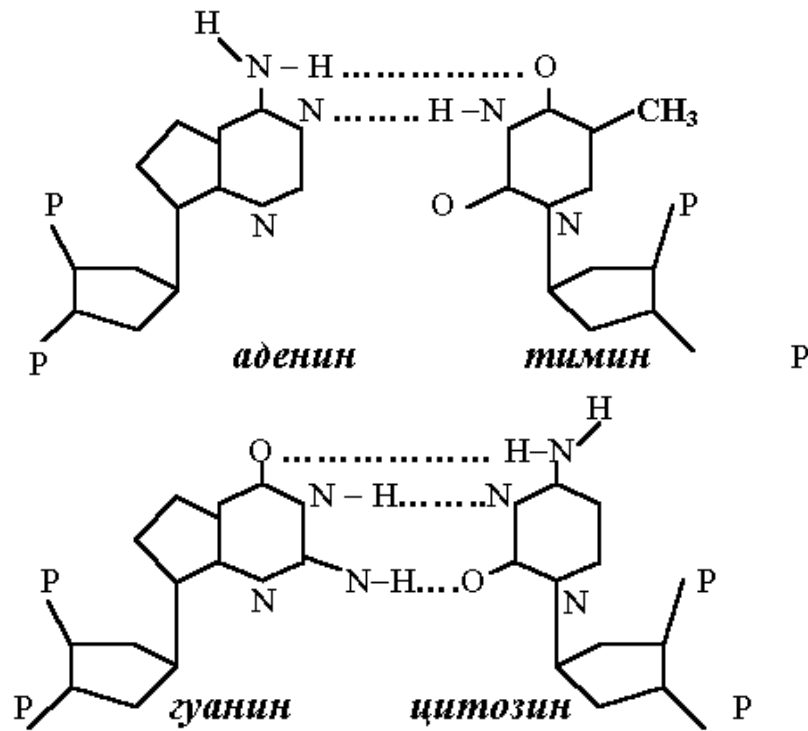


Рис. 12. Схема комплементарности нуклеиновых кислот.

Комплементарность нуклеотидов рассмотрим с позиций волновых процессов. Поскольку каждый химический элемент имеет несколько длин волн [1], поэтому выстроим схему состава нуклеотидов по закону снижения энергии при увеличении длины волны химического элемента [8]. Нуклеотид рассматривается без фосфора, так как показанная схема не точна с волновых позиций, ибо фосфор по своей химической длине волны принадлежит только цитозину.

Таблица 4. Химические элементы, составляющие нуклеотид, выстроенные по закону снижения энергии при увеличении длины волны химического элемента.

Нуклеотид	Химический элемент	Длина волны, нм	Энергия волны, эВ	Цветовое излучение
<b>Аденин</b>	Углерод	247,86	4,87	Ультрафиолетовое излучение
	Углерод	283,67	4,45	Ультрафиолетовое излучение
	Азот	399	3,28	Фиолетовый
<b>Тимин</b>	Азот	426,7	2,97	Синий
	Углерод	434,047	2,69	Синий
	Водород	434	2,69	Синий
	Углерод	463,2	2,54	Синий
<b>Гуанин</b>	Азот	509	2,44	Зеленый
	Азот	567,96	2,21	Желтый
	Водород	656	1,81	Оранжевый

<b>Цитозин</b>	Кислород	756	1,64	Красный
	Углерод	835	1,49	Инфракрасный
	Кислород	921	1,35	Инфракрасный
	Азот	1240	1,00	Инфракрасный
	Фосфор	1670	0,743	Инфракрасный
	Водород	1840	0,673	Инфракрасный

Исследования показали, что в аденине азот с длиной волны 399 нм и водород с длиной волны 260 нм, образуют квинту, организующую вращение по часовой стрелке.

В тимине кислород с длиной волны 756 нм и азот с длиной волны 461 нм образуют золотое сечение, вращающееся против часовой стрелки. Таким образом, аденин и тимин вращаются навстречу друг другу, а входящие в них азот с длиной волны 399 нм и водород с длиной волны 434 нм по определению образуют стоячую волну, **образуя устойчивое соединение азота с водородом**. Стоячая волна характеризуется отношением вибраций, близких к 1. Например, 434 нм:399 нм = 1,08.

В гуанине кислород с длиной волны 756 нм и углерод с длиной волны 461 нм создают золотое сечение, вращающееся против часовой стрелки.

В цитозине азот с длиной волны 1240 нм и углерод с длиной волны 835 нм создают квинту, вращающуюся по часовой стрелке. Таким образом, опять видим встречные световые потоки. А входящие в них углерод с длиной волны 835 нм и кислород с длиной волны 756 нм создают стоячую волну, **с устойчивым соединением азота с водородом**.

Очевидно, что нуклеотиды представляют собой цветовой шарик, в котором потоки устремляются навстречу друг другу в разных волновых пространствах.

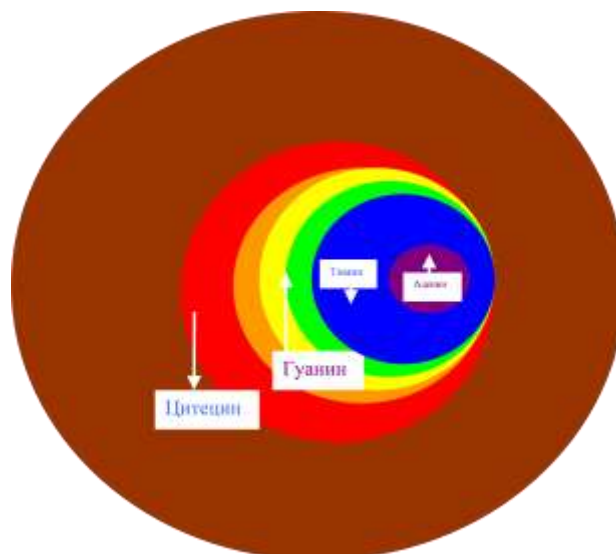


Рис. 13. Цветовой шарик ДНК.

Азот с водородом организуют связующую цепь согласно закону снижение энергии — увеличение длины волны.

Графики Лиссажу показывают, что летящие от Солнца ультрафиолетовое излучение с длиной волны 399 нм, представляет собой азот, а с длинами волн 375,015 – 397 нм представляет водород. Встречаясь в биологическом пространстве ( либо в любом другом) они не создают химических соединений, а приносят энергию в систему на уровне 2,97 эВ,



Рис. 14. След энергии химических элементов.

Поставщиками энергии от Солнца являются следующие химические пары элементов, пролетающих сквозь биологическую систему:

Азот в аденине — углерод в тимине, углерод в гуанине — азот в тимине, водород и азот в тимине, кислород в цитозине — азот в тимине.

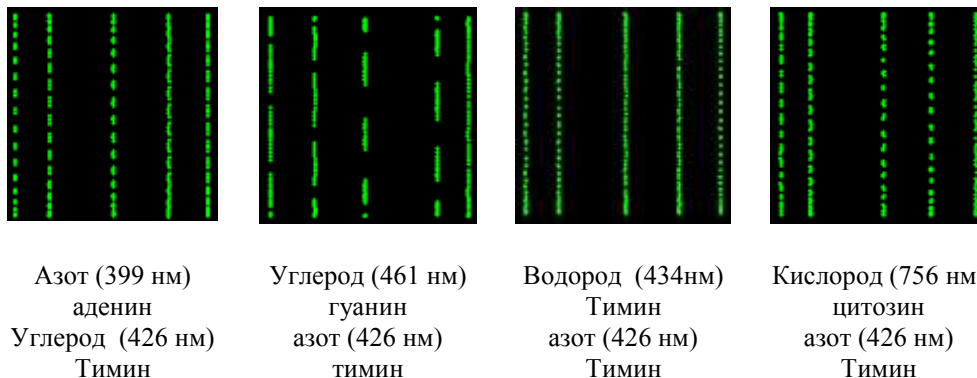


Рис. 15. Поставщики энергии в нуклеотидах.

Анализ составляющих значений частотных характеристик химических элементов подтвердил, что объединение их в составе ДНК происходит по указанным выше космическим законам: октаве (азот  $7,18E+14$  Гц – кислород  $3,96E+14$  Гц); квинте (азот  $2,42E+14$  Гц – водород  $1,62E+14$  Гц) и золотому сечению (азот  $5,34E+14$  Гц – углерод  $3,25E+14$  Гц).

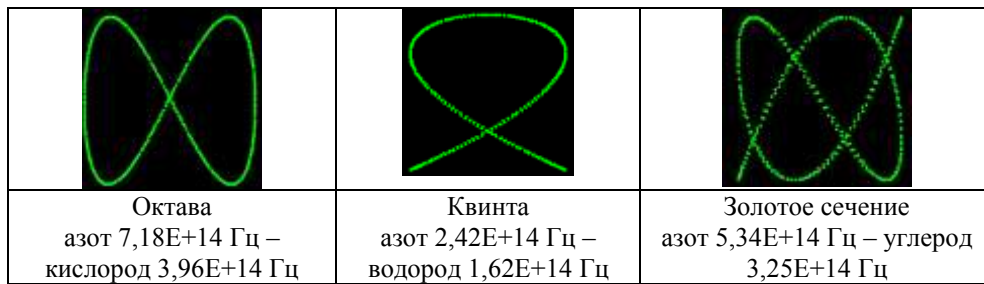


Рис. 16. Объединение химических элементов в составе молекулы ДНК происходит по схеме Космических гармоник: октаве, квинте, золотому сечению.

Таким образом, ДНК представляет собой фрактал макромира, отражающий его основные гармонические процессы.

Азот 567 нм с водородом 656 нм в гуанине создают соединение, аналогичное пульсации дельта ритмов мозга, соответствующее вращению Земли вокруг собственной оси с учетом водной среды (рис. 17.3)

Эти же элементы — азот, с длиной волны 1240 нм и водород с длиной волны 1870 нм создают соединение, аналогичное пульсации тета-ритма мозга с альфа-ритмом мозга (рис.17.4) Углерод с длиной волны 463 нм с водородом длиной волны 656 нм образует соединение, адекватное биоритмам синтеза белка и электронной активности нейронов, мыслительной активности человека, а также вибрациям альфа ритму мозга с сердцем, гамма-ритму мозга (рис 17.1, 17.2, 17.5а). Углерод с углеродом длиной волны 463 нм создают фигуру Лиссажу, соответствующую альфа-ритму мозга — сердце (дубль) (рис. 17.6б)

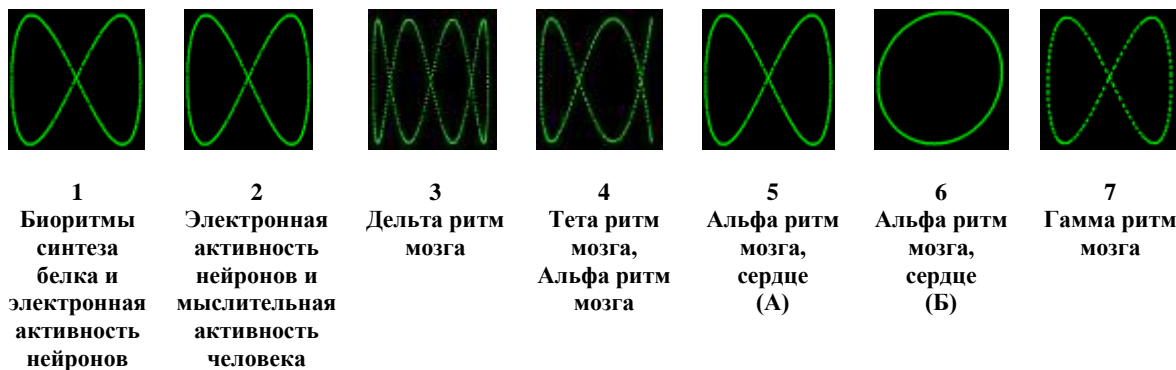


Рис. 17. Фигуры Лиссажу ритмов мозга человека [3].

Кроме того углерод тимина 463,2 нм и водород гуанина 656 нм так же формируют фигуру Лиссажу, адекватную гамма ритму мозга Рис. 17.7, который непосредственно связан с голосом. Голос у каждого человека уникален, также как и у остальных живых существ, следовательно, определение генетической наследственности можно производить по голосам родителей (или рода).

**Вибрации указанных соединений вызывают к жизни ритмы мозга и поддерживают их жизнедеятельность в процессе существования объекта.**

Ритмы мозга, соответственно, передают резонансные сигналы в определенные органы тела.

Таблица 5. Ритмы мозга связаны с органами и системами организма человека.

Ритмы мозга	Органы и системы, связанные с ритмами мозга
Дельта-ритм мозга	Биотоки мозга, вестибулярный аппарат, сердечные сокращения, <b>система органов дыхания</b> , руки. Частота 0,7 Гц; 2,8 Гц
Тета-ритм мозга	Биотоки мозга, вестибулярный аппарат, позвоночник, почки. Частота 5,6 Гц
Альфа-ритм мозга	Биотоки мозга, вестибулярный аппарат, сердце. Частота 11,3 Гц
Бета-ритм мозга	Резонансная частота черепной коробки при воздействии внешнего звука на пороге слышимого звукового диапазона. Частота 22,5 Гц
Гамма-ритм мозга	Звук в диапазоне частот 45-90 Гц.

Рассмотрим преобразование звуковых волн в системах тела, получаемых бета ритмом мозга 22,5 Гц.

Таблица 6. Преобразование звукового сигнала бета-ритма мозга в системах тела.

Генерирующая звуковая частота, Гц	Мозг	Кости	Ткани	Кровь	Вода	Нервы
2,25E+01	<b>бета-ритм мозга</b>	1,30E+03	6,92E+02	6,49E+02	6,41+02	1,30E+01

Резонансная частота 22,5 Гц точно соответствует дельта ритму мозга, произведенной в ноте ФА -7 октавы. Видимо она является координирующей работу ритмов мозга

Рассмотрим преобразование звуковых волн гамма ритмом мозга от звуковых резонансных сигналов в диапазоне частот 45 – 90 Гц.

Звук, проходя в системах тела, такие среды, как кости, ткани, кровь, вода, нервы преобразуется в короткие и ультракороткие радиоволны (таблица 6).

Таблица 6а. Преобразование звукового сигнала гамма ритма мозга в системах тела.

Генерирующая звуковая частота, Гц	Мозг	Кости	Ткани	Кровь	Вода	Нервы
Длина волны, м						
4,51E+01	гамма- ритм мозга	6,65E+01	3,55E+01	3,33E+01	3,29E+01	6,65E-01
4,98E+01		6,02E+01	3,21E+01	3,01E+01	2,98E+01	6,02E-01
5,50E+01		5,45E+01	2,91E+01	2,73E+01	2,70E+01	5,45E-01
6,07E+01		4,94E+01	2,63E+01	2,47E+01	2,44E+01	4,94E-01
6,70E+01		4,48E+01	2,39E+01	2,24E+01	2,21E+01	4,48E-01
7,40E+01		4,05E+01	2,16E+01	2,03E+01	2,00E+01	4,05E-01
8,17E+01		3,67E+01	1,96E+01	1,84E+01	1,82E+01	3,67E-01
9,02E+01		3,33E+01	1,77E+01	1,66E+01	1,62E+01	3,33E-01

Так, генерирующая звуковая частота от 45 Гц до 90 Гц создает поле информационное поле, соответствующее коротким радиоволнам в костях, тканях тела, в крови, в воде, а в нервах создает поле, соответствующее ультракоротким радиоволнам, что соответствует резонансным частотам живой клетки.

Следовательно, человек является приемником информации, протекающей по этим волнам, вероятнее всего, этот процесс мы и называем ИНТУИЦИЕЙ.

Подводим итоги: ДНК В ЦЕЛОМ создает химический каркас для РИТМОВ МОЗГА, которые передают жизненные сигналы в органы и системы тела.

Каждый нуклеотид функционален:

Аденин с тиминном являются поставщиками энергии, принятой от Солнца, гуанин трансформирует эту энергию в цветовую и организует подачу цветовой энергии в структуру клеток по квинте, а цитозин трансформирует ее далее и организует формирование живых систем по золотому сечению.

Для более точного выражения высказанной мысли представим ее в табличной форме.

Таблица 7. Функциональное назначение нуклеотидов в ритмах мозга.

Ритмы мозга	Нуклеотид Химические элементы, нм	Органы и системы, связанные с ритмами мозга
Дельта-ритм мозга	Гуанин Азот 567,96 Водород 656,27	Биотоки мозга, вестибулярный аппарат, сердечные сокращения, <b>система органов дыхания</b> , руки. Частота 0,7 Гц; 2,8 Гц
Тета-ритм мозга	Цитозин Азот 1240 Водород 1840	Биотоки мозга, вестибулярный аппарат, позвоночник, почки. Частота 5,6 Гц
Альфа-ритм мозга	Цитозин Азот 1240 Водород 1840	Биотоки мозга, вестибулярный аппарат, сердце. Частота 11,3 Гц
Гамма-ритм мозга	Углерод тимина 463,2 Водород гуанина 656,27	Звук в диапазоне частот 45-90 Гц.

Бета-ритм мозга	Резонансная частота 22,5 Гц точно соответствует дельта ритму мозга Видимо она является координирующей работу ритмов мозга	Резонансная частота черепной коробки при воздействии внешнего звука на пороге слышимого звукового диапазона. Частота 22,5Гц
-----------------	--	---

Таблица 8. Химические элементы нуклеотидов, участвующих в формировании клетки.

Нуклеотид	Химический элемент	Длина волны, нм	Цвет волны	Функциональное назначение
Тимин	Азот	426,7	синий	Формируют клетку.
	Углерод	434,047	синий	
Гуанин	Водород	656,27	оранжевый	
Цитозин	Азот	1240	инфракрасный	
	Фосфор	1670	инфракрасный	
	Водород	1840	инфракрасный	

Сравните данные таблицы 8 с рис. 13.

Исследование формирования клетки с момента ее оплодотворения подтвердили эту концепцию.

Так как нуклеотиды рассматриваются как волновые осциллирующие пакеты, все химические элементы рассматриваются так же, как волны, имеющие длины волн, совпадающих с цветовой волновой теорией. В приведенной таблице показаны химические элементы, соответствующие таблице Менделеева, в мерах длин волн в нанометрах. [1]

Из таблицы видно, что каждый химический элемент имеет несколько длин волн, которые переходят из одного цвета в другой по причине потери энергии. Диапазон энергий составляет от 0,67 эВ до 2,97 эВ. Волновые характеристики химических элементов, входящие в нуклеотиды ДНК показаны в таблице 9 [9].

Таблица 9. Волновые характеристики химических элементов, входящие в нуклеотиды ДНК.

Октавы	Частота (Гц)	Излучение	Длина волны (нм)	Химические элементы	Энергия волны, [эВ]	Масса, кг	Мощность, Вт
40	1,62E+14	Инфракрасное излучение	1,87E+03	Водород	6,73E-01	1,20E-36	1,75E-05
	1,79E+14		1,64E+03	Фосфор	7,43E-01	1,32E-36	2,14E-05
			9,79E+02				
			9,56E+02				
	2,42E+14		1,24E+03	Азот	1,00E+00	1,78E-36	3,88E-05
	3,25E+14		8,44E+02	Кислород Углерод	1,35E+00	2,40E-36	7,02E-05
	3,59E+14	8,35E+02	Кислород	1,49E+00	2,65E-36	8,55E-05	
	3,96E+14	Цвет	7,77E+02	Кислород	1,64E+00	2,92E-36	1,04E-04
	3,96E+14		7,23E+02	Кислород	1,64E+00	2,92E-36	1,04E-04
	4,38E+14		6,56E+02	Водород	1,81E+00	3,23E-36	1,27E-04
5,34E+14		5,67E+02	Азот	2,21E+00	3,94E-36	1,89E-04	
42	5,89E+14		4,63E+02	Углерод, Азот	2,44E+00	4,34E-36	2,30E-04

	6,51E+14		4,61E+02	Водород, Углерод	2,69E+00	4,80E-36	2,81E-04
	7,18E+14		4,34E+02	Водород	2,97E+00	5,30E-36	3,42E-04
	7,18E+14		4,26E+02	Углерод	2,97E+00	5,30E-36	3,42E-04
	7,18E+14		3,99E+02	Азот	2,97E+00	5,30E-36	3,42E-04
	7,93E+14		3,97E+02 3,89E+02 3,84E+02 3,80E+02 3,77E+02 3,75E+02	Водород	2,97E+00	5,30E-36	3,42E-04
43	1,07E+15	Ультра-фиолетовое Излучение	2,83E+02	Углерод	2,97E+00	5,30E-36	3,42E-04
	2,60E+02						
	1,18E+15		2,47E+02				
	1,18E+15		2,14E+02	Фосфор	5,94E+00	1,06E-35	1,37E-03

Представленная таблица является справочной.

Полученные данные о гармоничном устройстве Солнечной системы и имеющиеся выводы, что ДНК является фракталом Вселенной, позволили уточнить функциональное назначение нуклеотидов ДНК.

Полученные новые данные являются перспективным для последующих научных и практических разработок, связанных с генетикой и биологией в целом.

### Полевое пространство Человека

Рассмотрим с довольно необычной для современной науки размеры полевого пространства человека. Накопленный опыт биологов по измерению частоты некоторых органов и систем позволяет рассчитать длину волны этих объектов.

Длина волны в наших работах рассматривается как размерность ПОТЕНЦИАЛЬНОГО пространства. Для иллюстрации этого феномена некоторые данные сведены в таблицу 10.

Таблица 10. Длина волны и энергия, соответствующие частотам из различных литературных источников [1, 7, 10].

Орган человека	Частота, Гц	Длина волны, м	Энергия, эВ	Физическое явление
Ритмы супрахиазматического ядра гипоталамуса	1,16 E-05	2,53E+13	4,91E-20	Земля при вращении вокруг оси.
Циклы сокращения желудка, циклы мочеотделения и др.	1,85 E-04	1,43+12	7,86-19	Интерференция волн Земли и Юпитера в координате Соль-21
Физиологическая и мыслительная активность человека	2,7E-4 1,19E-4	1,17E+12 2,58E+12	1,06E-18 4,79E-19	Следующий диапазон после планетарных вибраций.
Дельта-ритм мозга	0,7 2,8	1,06E+8 4,25E+8	1,5E-20 5,99E-20	Земля при вращении вокруг оси, с учетом прохождения волны через воду. Диапазон магнитного поля Земли
Тета-ритм мозга	5,6	5,12E+7	1,2E-19	Диапазон магнитного поля Земли

Альфа-ритм мозга	11,3	2,56E+7	2,39E-19	Диапазон магнитного поля Земли
Бета-ритм мозга	22,5	1,28 E+7	4,79E-19	Диапазон магнитного поля Земли
Гамма-ритм мозга	45 90	6,65E+6 3,33E+6	1,66-18 9,58E-19	Диапазон магнитного поля Земли и звуковой диапазон
Глаза	40 100	7,34E+6 3,01E+6	1,69E-13 4,12E-13	В диапазоне гамма ритмов мозга
Меридиан легких, система органов дыхания	4,2-2,8	7,16E+07 1,06E+08	1,91E-14 1,17E-14	В диапазоне дельта(2,8) и тета(4,2) ритмов мозга
Руки	2,1 5,1	1,75E+04 6,02+06	8,66E-15 2,11E-14	В диапазоне дельта(2,1) и гамма(5,1) ритмов мозга
Желудок	2 3	1,75E+04 9,63E+07	8,66E-15 1,29E-14	В диапазоне дельта ритмов мозга

Данные таблицы показывают на связь органов с ритмами мозга. Функционирование дельта ритмов мозга связано с вращением Земли вокруг собственной оси, следовательно, настроить себя на эту частоту, значит обеспечить функционирование систем на долготное жизненное обеспечение. Гамма-ритм мозга, находясь в звуковом диапазоне, активируется энергией внешних звуков и собственным голосом.

Обратите внимание на длины волн, они явно характеризуют полевое состояние человека. Числовые данные таблицы 1, свернутые по закону Архимеда, являют о том, что ЧЕЛОВЕК является частью нашей Солнечной системы.

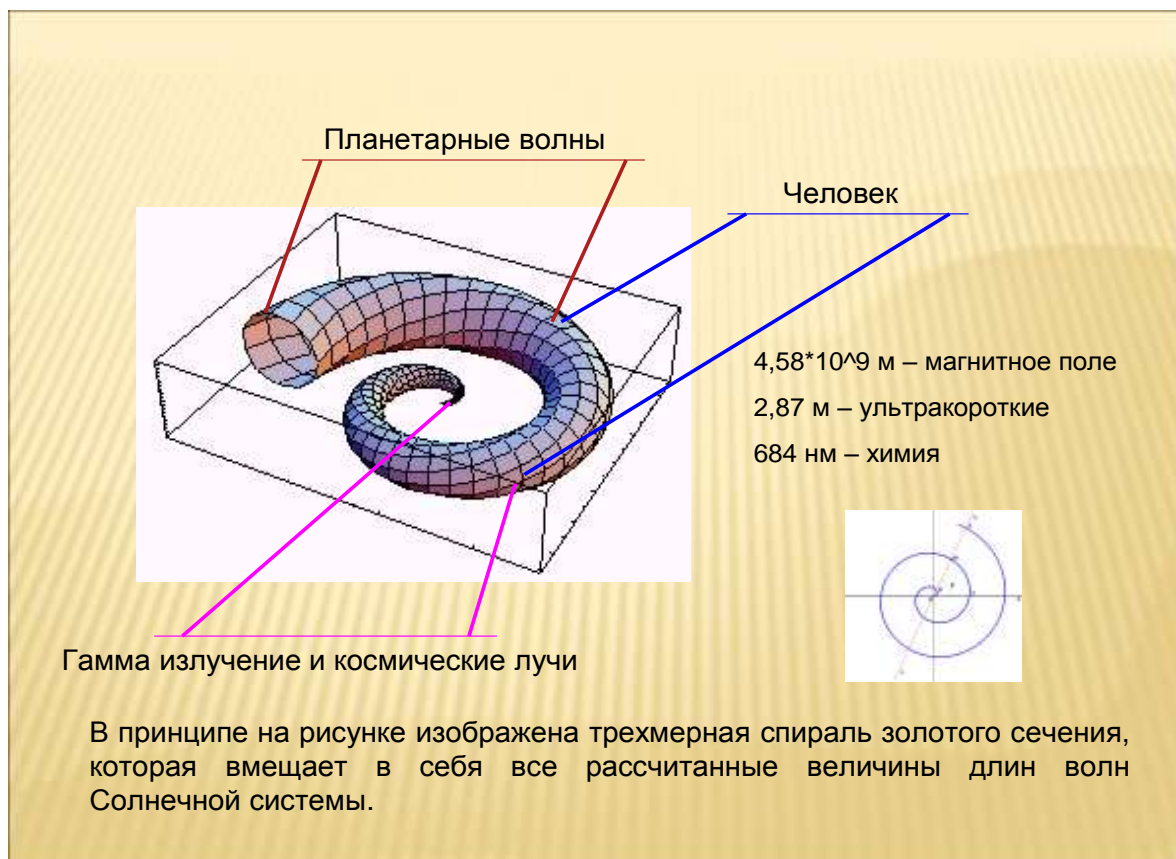


Рис. 18. ЧЕЛОВЕК является частью Солнечной системы.

**Расчетные данные позволяют учитывать полевую структуру человека, как данность, созданную природой. В дальнейших исследованиях необходимо включать эти параметры в научную систему знаний.**

На основании представленных теоретических исследований созданы безмедикаментозные цвето-звуковые методы гармонизации физического и психического здоровья человека. Методы зарегистрированы в форме Сертификата и Компьютерных программ, применяются в Инновационной педагогике, проверяются на волонтерах, желающих бросить курить и принимать алкоголь. **Перечень используемых программ активации функциональных систем человека: Восстановление энергетических потоков в костной системе человека (позвоночник, череп). Нормализация работы сердечно-сосудистой системы (сердце, кровообращение). Улучшение зрения. Гармонизация нервной системы. Активация работы печени и другие [11-14].**

Очень желательно, чтобы медицина обратила внимание на имеющиеся данные и создала, наконец, вибрационную медицину, давно существующую в коридорах официальной медицинской науки.

#### Литература

1. Кулакова М.А., Полынцев Д.А. Волновые характеристики природных систем. Расчетные таблицы. Справочник / под ред. академика РАМН Ю.А. Рахманина. — М.: 2009 — с. 151.
2. Николай Кузанский. Сочинения в двух томах, том 1. — М.: Мысль, 1979. — с. 482.
3. Боровков Е.И., Кулакова М.А., Полынцев Д.А. Тайна Клавдия Птолемея // Специальный выпуск НИИ Астробиологических проблем и космической безопасности. Приложение к журналу «Межакадемический информационный бюллетень «Международная академия»: вып. №1. — СПб.: 2010. — с. 64–70.
4. Золотое сечение — мера красоты / [Электронный ресурс]. — Режим доступа: <http://www.tech-to-life.com/publ/1-1-0-18>, свободный.
5. Кулакова М.А., Орлова В.А. Закономерности гармоничного развития клеток и тканей человека в вибрирующем пространстве Солнечной системы // Специальный выпуск НИИ Астробиологических проблем и космической безопасности. Приложение к журналу «Межакадемический информационный бюллетень «Международная академия»: вып. №8. — СПб.: 2008 — с. 92–100.
6. Эмбриология / [Электронный ресурс]. — Режим доступа: <http://www.rusbiolog.ru/2008/10/12/jembriologija.html>, свободный.

7. Чернилевский В.Е. Гипотеза резонанса / Доклады МОЧП, том 41. Секция геронтологии. Участие биоритмов организма в процессах развития старения.
8. Барабой В.А. Солнечный луч. — М.: Наука, 1978. — с. 240.
9. Кулакова М.А., Орлова В.А. Волновое единство микро- и макроструктур Космоса в графических отображениях // Журнал «Международная академия МАИСУ»: вып. №1 (43), январь 2010. — стр. 55–63.
10. Трохан А.М. Таинственный мир, в котором мы живем. Изд. второе, дополненное. — М.: МАКС Пресс, 2008.
11. Рогозенко Н.П., Кулакова М.А., Орлова В.А. Способ диагностики ДНК и коррекции ее аномалий, опирающуюся на модель «идеальной» ДНК / свидетельство № 11964 от 6 июня 2007 года о депонировании и регистрации произведения — объекта интеллектуальной собственности. — Российское авторское общество.
12. Кулакова М.А., Орлова В.А., Коровников А.В. Синхронное цвето-звуковое воздействие на когнитивные и эмоциональные способности человека и основанная на нем методика исцеляющего обучения / авторский сертификат на программу, серия АС номер 0005/11/4 от 14 февраля 2011 года. — ВНИИ интеллектуальной собственности им. И.И. Дмитриева.
13. Кулакова М.А., Коровников А.В., Крюков Ю.А. Программное обеспечение мультимедийного метода синхронно-резонансной гармонизации человека / свидетельство о государственной регистрации программы для ЭВМ №2011616484 от 19 августа 2011 года.
14. Большаков Б.Е. Закон Природы, или как работает Пространство – Время? — М.: РАЕН, 2002. — 270 с.
15. Кузнецов О.Л., Большаков Б.Е. Устойчивое развитие: научные основы проектирования в системе «природа – общество – человек». — СПб.: Гуманистика, 2002. — 616 с.
16. Большаков Б.Е. Наука устойчивого развития. Книга I. Введение. — М.: РАЕН, 2011. — 272 с.
17. Большаков Б.Е., Кузнецов О.Л. Инженерия устойчивого развития. — М.: РАЕН, 2012. — 507 с.